

05,04

Магнитоэлектрические свойства феррита-граната самария

© Д.И. Плохов^{1,2}, А.И. Попов³, А.К. Звездин^{1,4}

¹ Институт общей физики им. А.М. Прохорова РАН,
Москва, Россия

² Российский университет дружбы народов,
Москва, Россия

³ Национальный исследовательский университет Московский институт электронной техники,
Москва, Зеленоград, Россия

⁴ Физический институт им. П.Н. Лебедева РАН,
Москва, Россия

E-mail: dmitry.plokhov@gmail.com, zvezdin@gmail.com

Поступила в Редакцию 29 декабря 2022 г.

В окончательной редакции 30 декабря 2022 г.

Принята к публикации 30 декабря 2022 г.

Теоретически исследованы магнитоэлектрические свойства самариевого феррита-граната: описаны антисегнетоэлектрические структуры ионов самария и выявлена их связь с конфигурациями магнитных моментов ионов и их трансформациями при магнитных фазовых переходах. Установлена возможность возникновения при низких температурах необычных блоховских доменных границ, в которых вектор намагниченности совершает разворот от осей типа $[uv0]$ к осям $[v u 0]$, не являющихся осями симметрии кристалла. Изучена электрическая поляризация блоховских доменных границ, реализующихся как при низких ($T \rightarrow 0\text{K}$), так и при высоких температурах. Установлено, что электрическая поляризация блоховских границ, возникающая вследствие неоднородного магнитоэлектрического эффекта, существенно зависит от их формы.

Ключевые слова: редкоземельные ферриты-гранаты, магнитные фазовые переходы, блоховские доменные границы, неоднородный магнитоэлектрический эффект.

DOI: 10.21883/FTT.2023.03.54742.561

1. Введение

В настоящее время проводятся интенсивные исследования материалов, обладающих магнитоэлектрическими свойствами [1,2]. В большинстве случаев (феррит висмута, ферробораты, манганиты) возникновение магнитоэлектрических эффектов материалов обусловлено наличием нечетных магнитных конфигураций d -ионов (Fe, Mn, Cr), входящих в их состав.

В последние годы возрос интерес к изучению редкоземельных (РЗ) магнитоэлектриков, свойства которых формируются за счет взаимодействия магнитных подрешеток, образованных редкоземельными f -ионами и d -ионами железа [3]. К новому классу таких магнитоэлектриков относятся редкоземельные ферриты со структурой граната (РЗФГ) [4,5]. В работе [5] было показано, что в редкоземельных гранатах магнитное поле, в частности, поле обменного R-Fe взаимодействия, а также и поле упругих напряжений [6], приводит к возникновению электрических дипольных моментов у РЗ-ионов. Совокупность электрических дипольных моментов подсистемы РЗ-ионов в кристаллах гранатов образуют (в случае однородных магнитных полей) сложные антисегнетоэлектрические структуры с нулевой результирующей поляризацией, тесно связанные с магнитными структурами.

В случае неоднородного магнитного поля, реализующегося, например, в области доменных границ проис-

ходит „раскомпенсация“ электрических дипольных моментов РЗ-ионов, что приводит к возникновению электрической поляризации подсистемы РЗ-ионов в области неоднородного поля [5]. Указанное обстоятельство определяется не точечной, а пространственной симметрией кристалла [6], в связи с чем следует четко различать примитивную и элементарную ячейки кристалла. Отметим, что в работе [5] в качестве поляризации доменных границ был взят увеличенный в два раза электрический дипольный момент примитивной ячейки, в то время как в подобных случаях следует использовать элементарную ячейку [6].

В настоящей работе проведено исследование магнитоэлектрических свойств редкоземельного самариевого феррита-граната $\text{Sm}_3\text{Fe}_5\text{O}_{12}$ (SmIG — Samarium Iron Garnet). Выбор этого материала в качестве объекта исследования обусловлен следующими обстоятельствами: во-первых, ионы Sm^{3+} входят в состав пленок ферритов-гранатов, используемых на практике, во-вторых, характеристики SmIG, такие как, например, энергия анизотропии, намагниченность РЗ-подрешетки и другие, убывают с ростом температуры не так быстро, как в случае остальных (за исключением Eu^{3+}) РЗ-ионов, и обладают существенными величинами даже при комнатных температурах.

При низких температурах SmIG также обладает уникальными магнитными свойствами [7–9], к которым следует отнести существование спонтанных ориентацион-

ных фазовых переходов $[uv0] \leftrightarrow [110]$ при температуре 18 К и $[110] \leftrightarrow [111]$ при температуре 65.7 К, которые будут подробно рассмотрены ниже.

В настоящей работе исследованы антисегнетоэлектрические структуры ионов Sm^{3+} в зависимости от конфигураций их магнитных моментов, реализующихся при магнитных фазовых переходах. Изучены поляризации доменных стенок, возникающие в пределе низких температур (блеховская стенка, в которой происходит разворот вектора намагниченности от оси легкого намагничивания $[210]$ к оси легкого намагничивания $[120]$, при этом поляризация \mathbf{P} стенки направлена вдоль оси разворота $[001]$) и стенок, реализующихся при высоких температурах, когда происходит разворот намагниченности от направления $[111]$ к направлению $[11\bar{1}]$ вдоль оси $\tilde{z} \parallel [\bar{1}10]$ (в этом случае поляризация \mathbf{P} ориентирована перпендикулярно оси разворота $[\bar{1}10]$).

2. Кристаллическая структура ферритов-гранатов

Редкоземельные кристаллы со структурой граната обладают рядом уникальных магнитных, магнитоупругих и магнитооптических свойств, обусловленных в большинстве случаев наличием в их составе РЗ-ионов. Они имеют общую химическую формулу $R_3M_5O_{12}$, где R — редкоземельный элемент или иттрий, а M — металл. Подобные соединения обладают весьма сложной кристаллографической структурой, которая описывается пространственной группой $O_h^{10} — Ia\bar{3}d$. Элементарная ячейка является объемноцентрированной кубической и включает в себя восемь формульных единиц $R_3M_5O_{12}$, т.е. содержит 160 атомов. Длина ребра ячейки равна 1.2 нм.

Важное значение имеет тот факт, что РЗ-ионы в кристаллах граната размещены по шести неэквивалентным c -позициям, симметрия окружения которых не является кубической, а описывается точечной группой D_2 , которая не содержит операции пространственной инверсии

Координаты c -позиций (в единицах длины ребра ячейки) и ориентация осей симметрии c -позиций.

k	1	2	3	4	5	6
$\mathbf{e}_x^{(k)}$	110	$1\bar{1}0$	011	$01\bar{1}$	101	$\bar{1}01$
$\mathbf{e}_y^{(k)}$	$\bar{1}10$	110	$0\bar{1}1$	011	$10\bar{1}$	101
$\mathbf{e}_z^{(k)}$	001	001	100	100	010	010
$\mathbf{r}^{(k)}$	$0\frac{3}{4}\frac{3}{8}$	$0\frac{1}{4}\frac{1}{8}$	$\frac{3}{8}0\frac{3}{4}$	$\frac{1}{8}0\frac{1}{4}$	$\frac{3}{4}\frac{3}{8}0$	$\frac{1}{4}\frac{1}{8}0$
$\mathbf{r}^{(k+6)}$	$0\frac{1}{4}\frac{5}{8}$	$0\frac{3}{4}\frac{7}{8}$	$\frac{5}{8}0\frac{1}{4}$	$\frac{7}{8}0\frac{3}{4}$	$\frac{1}{4}\frac{5}{8}0$	$\frac{3}{4}\frac{7}{8}0$
$\mathbf{r}^{(k+12)}$	$\frac{1}{2}\frac{1}{4}\frac{7}{8}$	$\frac{1}{2}\frac{3}{4}\frac{5}{8}$	$\frac{7}{8}\frac{1}{2}\frac{1}{4}$	$\frac{5}{8}\frac{1}{2}\frac{3}{4}$	$\frac{1}{4}\frac{7}{8}\frac{1}{2}$	$\frac{3}{4}\frac{5}{8}\frac{1}{2}$
$\mathbf{r}^{(k+18)}$	$\frac{1}{2}\frac{3}{4}\frac{1}{8}$	$\frac{1}{2}\frac{1}{4}\frac{3}{8}$	$\frac{1}{8}\frac{1}{2}\frac{3}{4}$	$\frac{3}{8}\frac{1}{2}\frac{1}{4}$	$\frac{3}{4}\frac{1}{8}\frac{1}{2}$	$\frac{1}{4}\frac{3}{8}\frac{1}{2}$

(что принципиально важно для понимания магнитоэлектрических свойств гранатов [4]). Координаты всех 24 c -позиций РЗ-ионов и ориентации осей симметрии первых шести мест приведены в таблице. Нумерация мест РЗ-ионов в ячейке выбрана такой, что окружение места с номером $k+6$ отличается от окружения k -го места операцией инверсии, т.е. $\mathbf{e}_\alpha^{(k+6)} = -\mathbf{e}_\alpha^{(k)}$.

Ионы железа в редкоземельных ферритах-гранатах распределены по двум подрешеткам, одна из которых — a -подрешетка — образована ионами Fe^{3+} в узлах с октаэдрическим окружением, вторая — d -подрешетка — ионами Fe^{3+} в местах с тетраэдрическим окружением.

3. Магнитные структуры и ориентационные фазовые переходы

В редкоземельных ферритах-гранатах упорядочение магнитных моментов редкоземельных ионов осуществляется, главным образом, за счет отрицательного обменного взаимодействия РЗ-ионов с ионами железа Fe^{3+} в d -подрешетке, причем эффективное поле R-Fe взаимодействия $H_{\text{eff}} = \lambda M_d \sim 10$ Т. Обменное взаимодействие между самими РЗ-ионами на порядок меньше обменного R-Fe взаимодействия, и поэтому ниже учитываться не будет. В свою очередь, взаимодействие РЗ-ионов с кристаллическим полем в кристаллах ферритов-гранатов по величине существенно превышает обменное R-Fe взаимодействие.

В феррите-гранате самария при температурах $T_1 = 65.7$ К и $T_2 = 18$ К наблюдаются спонтанные ориентационные фазовые переходы [7,8]. При температуре $T > T_1$ намагниченность SmIG ориентирована вдоль осей типа $[111]$, в интервале $T_2 < T < T_1$ она направлена вдоль $[110]$, наконец, при $T < T_2$ намагниченность кристалла отклоняется от оси $[110]$ в плоскости (001) , и реализуется фаза $[uv0]$. Переход $[111] \leftrightarrow [110]$ является фазовым переходом первого рода, в то время как переход $[110] \leftrightarrow [uv0]$ представляет собой фазовый переход второго рода. Причина этих фазовых переходов заключается в особенностях расщепления уровней ионов Sm^{3+} в кристаллическом поле и поле обменного R-Fe взаимодействия [10].

Основным мультиплетом иона самария Sm^{3+} является мультиплет ${}^6H_{5/2}$, который в кристаллическом поле расщепляется на три дублета, обладающих, согласно [10], энергиями $E_0 = 0$ см $^{-1}$, $E_1 = 76$ см $^{-1}$ и $E_2 = 313$ см $^{-1}$. Основной дублет отличается сильной анизотропией g -тензора: $g_x \gg g_y, g_z$ в локальных осях (см. таблицу). Пренебрежем величинами g_y и g_z . В этом случае расщепление уровней основного дублета в обменном поле $\mathbf{H}_{\text{eff}} = \lambda \mathbf{M}_{\text{Fe}}$

$$\begin{aligned}
 E_{1,2}^{(k)} &= \pm \mu_B g_x (\mathbf{H}_{\text{eff}} \cdot \mathbf{e}_x^{(k)}) = \pm \mu_x (\mathbf{H}_{\text{eff}} \cdot \mathbf{e}_x^{(k)}) \\
 &= \pm \mu_x \lambda M_{\text{Fe}} (\mathbf{m} \cdot \mathbf{e}_x^{(k)}), \tag{1}
 \end{aligned}$$

где $\mu_x = g_x \mu_B$ и $\mathbf{m} = \mathbf{M}_{Fe}/M_{Fe}$. Магнитный момент иона самария Sm^{3+} , обусловленный расщеплением в поле уровней основного дублета, коллинеарен локальной x -оси

$$M_x^{(k)} = \mu_x \operatorname{th} \left(\frac{\mu_x \lambda M_{Fe} (\mathbf{m} \cdot \mathbf{e}_x^{(k)})}{kT} \right). \quad (2)$$

В общих чертах ориентационные фазовые переходы в SmIG были исследованы в работах [7,8], в которых было показано, что они являются проявлениями магнитного аналога эффекта Яна–Теллера [11]. Теоретическое описание переходов проводилось на основе анализа экстремальных свойств термодинамического потенциала

$$\Phi = -K_1(m_x^4 + m_y^4 + m_z^4) - \frac{kT}{6} \sum_{k=1}^6 \ln \operatorname{ch} \left(\frac{\mu_x \lambda M_{Fe} (\mathbf{m} \cdot \mathbf{e}_x^{(k)})}{kT} \right), \quad (3)$$

где K_1 — константа магнитной анизотропии.

Выражение (3) записано с учетом уровней только основного дублета ионов Sm^{3+} , что справедливо при температурах $T < T^* = E_1/k \sim 120$ К. Первое слагаемое в соотношении (3) представляет собой энергию анизотропии ионов железа и вклад ван-Флековского типа от вышележащих уровней ионов самария. Отметим, что константа анизотропии K_1 слабо зависит от температуры.

При низких температурах $T \rightarrow 0$ К выражение (3) принимает вид

$$\Phi = -K_1(m_x^4 + m_y^4 + m_z^4) - \frac{\mu_x H_{\text{eff}}}{6} \sum_{k=1}^6 |\mathbf{m} \cdot \mathbf{e}_x^{(k)}|. \quad (4)$$

Основной вклад в термодинамический потенциал Φ дает второе слагаемое, учет которого в выражении (4) в первом приближении вполне можно ограничиться. В этом случае осями легкого намагничивания SmIG являются направления типа $[210]$, не совпадающие с осями симметрии кристалла и близкие к реализующимися в действительности [7]. Влияние первого слагаемого в формуле (4) приводит к тому, что \mathbf{M}_{Fe} незначительно отклоняется от оси $[210]$ к оси $[110]$. При повышении температуры в фазе $[uv0]$ вектор \mathbf{M}_{Fe} движется в плоскости (001) от оси $[210]$ к оси $[110]$, далее при промежуточных температурах $T_2 < T < T_1$ реализуется фаза $[110]$, а затем при высоких температурах $T > T_1$ — фаза $[111]$ (см. рис. 1).

Конфигурации магнитных моментов \mathbf{M}_k ионов Sm^{3+} во всех трех перечисленных фазах показаны на рис. 2, 3, 4.

4. Электрические дипольные моменты ионов самария, индуцированные обменным полем

В работе [4] было показано, что вклад отдельного редкоземельного иона, обладающего дублетным (или

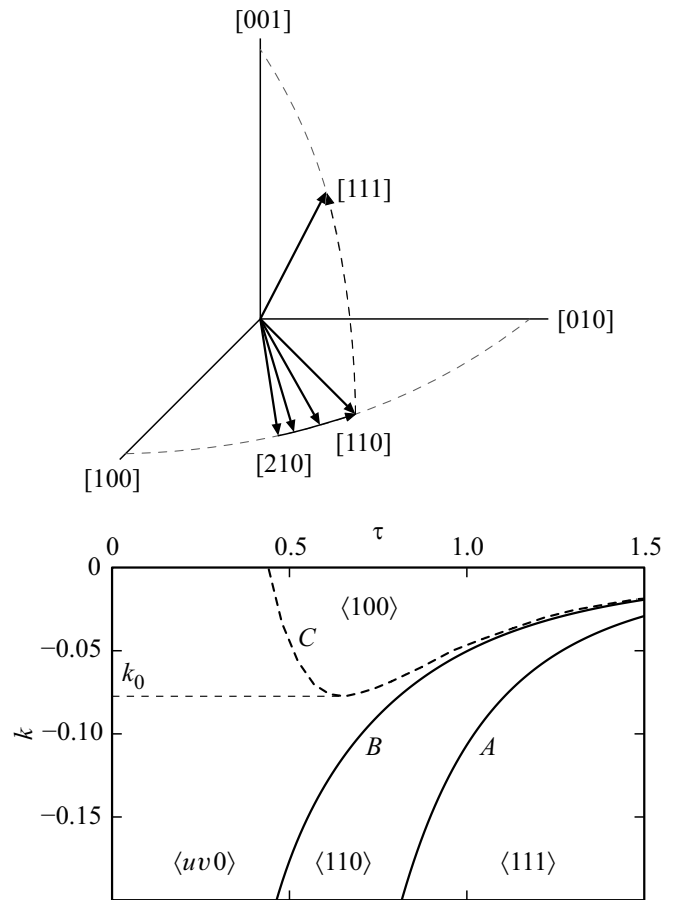


Рис. 1. *a* — направление вектора намагниченности \mathbf{M}_{Fe} подрешетки железа в различных магнитных фазах самариевого феррита-граната. *b* — магнитная фазовая диаграмма кристалла в переменных $\tau = T/(\mu_x \lambda M_{Fe})$ и $k = 2K_1/(\mu_x \lambda M_{Fe})$.

квазидублетным) основным состоянием, в магнитоэлектрическую энергию $\mathcal{E}_{me}^{(k)}$ кристалла со структурой граната представляет собой инвариантные относительно преобразований группы D_2 комбинации произведений компонент векторов \mathbf{E} , \mathbf{H} и \mathbf{M} . В случае ионов самария в феррите-гранате при низких температурах $T < E_1/k \sim 120$ К, когда можно ограничиться заселением уровней основного дублета, в локальных осях k -го места,

$$\mathcal{E}_{me}^{(k)} = C_1 M_x^{(k)} H_y^{(k)} E_z^{(k)} + C_2 M_x^{(k)} H_z^{(k)} E_y^{(k)}, \quad (5)$$

где $\mathbf{H} = \mathbf{H}_{\text{eff}} = \lambda \mathbf{M}_{Fe}$, а $M_x^{(k)}$ определено выражением (2). Дипольный момент иона в k -м месте

$$P_\alpha^{(k)} = -\frac{\partial \mathcal{E}_{me}^{(k)}}{\partial E_\alpha^{(k)}}, \quad \alpha = x, y, z. \quad (6)$$

Нам достаточно рассмотреть индуцирование электрических дипольных моментов на первых шести узлах редкоземельных ионов в ячейке. Дипольные моменты остальных мест найдем, используя соотношения

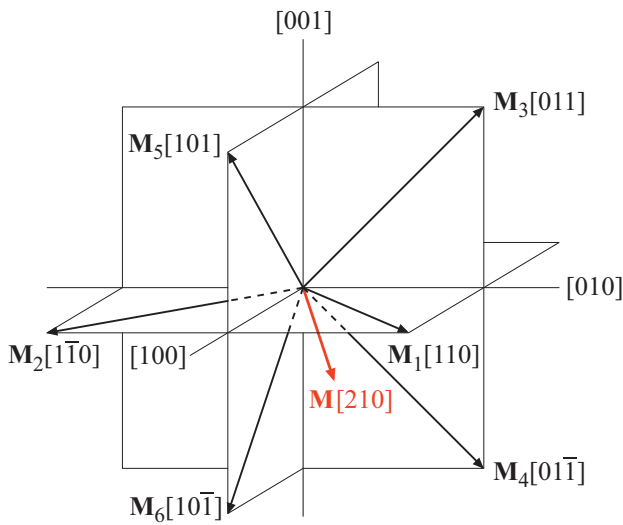


Рис. 2. Конфигурация магнитных моментов ионов самария в фазе [2 1 0], реализующейся при $T \rightarrow 0$ К. Магнитные моменты \mathbf{M}_1 и \mathbf{M}_2 лежат в плоскости (001), магнитные моменты \mathbf{M}_3 и \mathbf{M}_4 лежат в плоскости (100), магнитные моменты \mathbf{M}_5 и \mathbf{M}_6 лежат в плоскости (010). При конечной температуре намагниченность \mathbf{M} несколько отклоняется от [2 1 0] к [1 1 0].

$P_\alpha^{(k+6)} = -P_\alpha^{(k)}$, справедливые для четных магнитных структур и в случае однородного магнитного (обменного) поля. Рассмотрим поочередно фазы [1 1 1], [1 1 0] и [u v 0].

Для низкотемпературной фазы [u v 0] найдем

$$\mathbf{P}^{(1,2)} = \pm \frac{\mu H_{\text{eff}}}{\sqrt{2}} \text{th} \left(\frac{\gamma_x \pm \gamma_y}{\tau \sqrt{2}} \right) C_1 (\gamma_x \mp \gamma_y) \mathbf{e}_z,$$

$$\mathbf{P}^{(3,4)} = \pm \frac{\mu H_{\text{eff}}}{\sqrt{2}} \text{th} \left(\frac{\gamma_y}{\tau \sqrt{2}} \right) (C_1 \gamma_y \mathbf{e}_x + C_2 \gamma_x (\mathbf{e}_y \mp \mathbf{e}_z)),$$

$$\mathbf{P}^{(5,6)} = \mp \frac{\mu H_{\text{eff}}}{\sqrt{2}} \text{th} \left(\frac{\gamma_x}{\tau \sqrt{2}} \right) (C_1 \gamma_x \mathbf{e}_y + C_2 \gamma_y (\mathbf{e}_x \mp \mathbf{e}_z)), \quad (7)$$

где $\tau = kT/\mu H_{\text{eff}}$, $\mathbf{e}_x = [1 0 0]$, $\mathbf{e}_y = [0 1 0]$, $\mathbf{e}_z = [0 0 1]$,

$$\gamma_x = \frac{u(\tau)}{\sqrt{u^2(\tau) + v^2(\tau)}} \quad \text{и} \quad \gamma_y = \frac{v(\tau)}{\sqrt{u^2(\tau) + v^2(\tau)}}.$$

Для фазы [1 1 0] в уравнениях (7) достаточно положить $\gamma_x = \gamma_y = 1/\sqrt{2}$.

Наиболее простая конфигурация электрических дипольных и магнитных моментов реализуется в случае высокотемпературной фазы [1 1 1], в которой (см. рис. 5)

$$\mathbf{P}^{(2)} = \mathbf{P}^{(4)} = \mathbf{P}^{(6)} = 0,$$

$$\mathbf{P}^{(1)} = C_2 \frac{\mu H_{\text{eff}}}{\sqrt{6}} \text{th} \left(\frac{\sqrt{6}}{3\tau} \right) (\mathbf{e}_x - \mathbf{e}_y),$$

$$\mathbf{P}^{(3)} = C_2 \frac{\mu H_{\text{eff}}}{\sqrt{6}} \text{th} \left(\frac{\sqrt{6}}{3\tau} \right) (\mathbf{e}_y - \mathbf{e}_z),$$

$$\mathbf{P}^{(5)} = C_2 \frac{\mu H_{\text{eff}}}{\sqrt{6}} \text{th} \left(\frac{\sqrt{6}}{3\tau} \right) (\mathbf{e}_z - \mathbf{e}_x). \quad (8)$$

Отметим, что во всех трех фазах векторы $\mathbf{P}^{(k)}$ и $\mathbf{M}^{(k)}$ перпендикулярны друг другу. Что касается результирующего вектора поляризации $\sum_{k=1}^6 \mathbf{P}^{(k)}$, то фазах [u v 0] и [1 1 0] он отличен от нуля и направлен вдоль оси [0 0 1]. В фазе [1 1 1] векторы $\mathbf{P}^{(1,3,5)}$ перпендикулярны оси [1 1 1] и $\sum_{k=1}^6 \mathbf{P}^{(k)} = 0$. Разумеется, в случае однородного обменного поля результирующий электрический дипольный момент элементарной ячейки $\sum_{k=1}^{24} \mathbf{P}^{(k)}$ обращается в ноль в силу соотношений $P_\alpha^{(k+6)} = -P_\alpha^{(k)}$. Возникновение поляризации у подсистемы редкоземельных ионов в ферритах-гранатах возможно в случае неоднородного

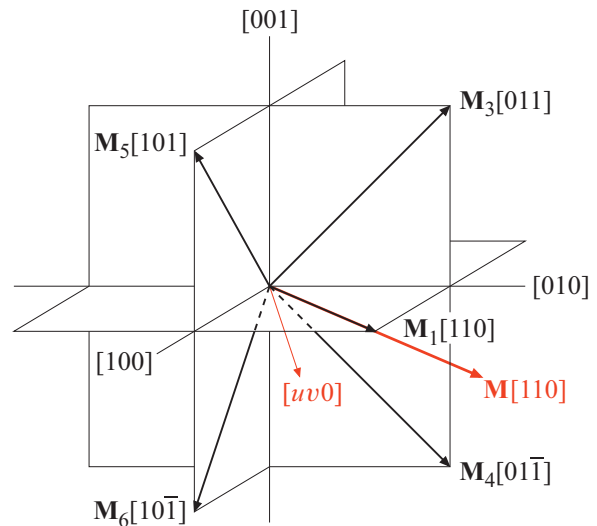


Рис. 3. Конфигурация магнитных моментов ионов самария в фазе [1 1 0], в которой $\mathbf{M}_2 = 0$, реализующейся при $T_2 < T < T_1$.

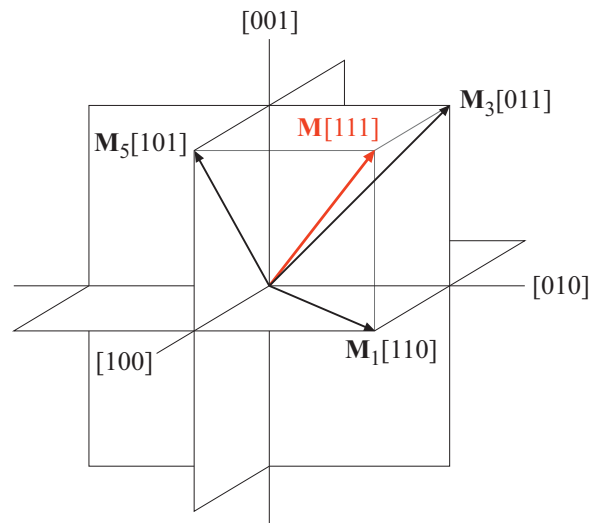


Рис. 4. Конфигурация магнитных моментов ионов самария в фазе [1 1 1], реализующейся при температурах $T > 65.7$ К. В этой фазе $\mathbf{M}_2 = \mathbf{M}_4 = \mathbf{M}_6 = 0$.

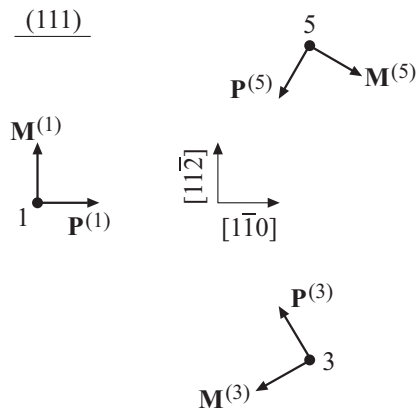


Рис. 5. Конфигурация дипольных электрических и магнитных моментов ионов самария в проекции на плоскость (111) для фазы [111], реализующейся при температурах $T > T_1 = 65.7$ К.

обменного поля, реализующегося, в частности, в области доменных границ.

5. Поляризация доменных стенок в SmIG

Поляризация подсистемы редкоземельных ионов в доменных стенках, обусловленная неоднородностью обменного поля, действующего на редкоземельные ионы, была исследована в работах [5,12,13]. В этих работах рассматривались обычные доменные границы блоховского типа, в которых вектор \mathbf{M}_{Fe} разворачивался на угол 71° от направления [111] к направлению [11 $\bar{1}$] вдоль оси [$\bar{1}$ 10], а также доменные границы неелевского типа, в которых разворот вектора \mathbf{M}_{Fe} осуществляется от оси [$\bar{1}$ $\bar{1}$ 1] к оси [111].

Отметим, что в качестве поляризации в указанных работах [5,12,13] был взят увеличенный в два раза электрический дипольный момент примитивной ячейки, в то время как в подобных случаях следует использовать элементарную ячейку [6]. Поэтому в настоящей работе мы ниже исследуем поляризацию блоховской доменной границы, возникающей, в частности, в SmIG при температуре $T > T_1 = 65.7$ К при учете указанного обстоятельства, а также изучим поляризацию доменных стенок SmIG, реализующихся при низких температурах ($T \rightarrow 0$ К).

Уникальность SmIG состоит в том, что при низких температурах осями легкого намагничивания являются направления типа $[uv0]$, не совпадающие с осями симметрии кубического кристалла. В пределе $T \rightarrow 0$ К эти направления близки к $\langle 210 \rangle$, так что здесь будут реализовываться блоховские стенки, в которых \mathbf{M}_{Fe} разворачивается на угол 37° от направления [210] к направлению [120], либо на угол 66° при развороте от [210] к [021], либо на 78° в случае разворота от [210] к [012].

Рассмотрим поляризацию обладающей наименьшей энергией 37° -градусной доменной стенки. Пусть в ней вектор \mathbf{M}_{Fe} совершает разворот вдоль оси $z = [001]$ от направления [210] к направлению [120]. Плотность энергии анизотропии феррита-граната самария при $T \rightarrow 0$ К представима в виде $E_A = nE_1$, где, согласно (4), выражение

$$E_1 = -\frac{1}{6} \mu_x \lambda M_{\text{Fe}} \sum_{k=1}^6 |\mathbf{m} \cdot \mathbf{e}_x^{(k)}|$$

есть термодинамический потенциал системы в расчете на один ион самария, обусловленный расщеплением основного дублета Sm^{3+} в эффективном обменном поле, $n = 24/d^3$ — число ионов самария в единице объема, а $d \sim 1.2$ нм — длина ребра элементарной ячейки. Таким образом

$$E_A = -K \sum_{k=1}^6 |\mathbf{m} \cdot \mathbf{e}_x^{(k)}|, \quad (9)$$

где $K = 4\mu_x \lambda M_{\text{Fe}}/d^3$. Представим вектор \mathbf{m} в виде

$$\mathbf{m} = \mathbf{e}_x \cos\left(\varphi + \frac{\pi}{4}\right) + \mathbf{e}_y \sin\left(\varphi + \frac{\pi}{4}\right), \quad (10)$$

где угол φ отсчитывается от оси [110], а $\mathbf{e}_x = [100]$ и $\mathbf{e}_y = [010]$. При этом слагаемые, входящие в сумму в выражении (9), имеют вид

$$\begin{aligned} (\mathbf{m} \cdot \mathbf{e}_x^{(1)}) &= \frac{1}{\sqrt{2}} \cos\left(\varphi + \frac{\pi}{4}\right) + \frac{1}{\sqrt{2}} \sin\left(\varphi + \frac{\pi}{4}\right) \\ &= \cos \varphi, \end{aligned}$$

$$\begin{aligned} (\mathbf{m} \cdot \mathbf{e}_x^{(2)}) &= \frac{1}{\sqrt{2}} \cos\left(\varphi + \frac{\pi}{4}\right) - \frac{1}{\sqrt{2}} \sin\left(\varphi + \frac{\pi}{4}\right) \\ &= -\sin \varphi, \end{aligned}$$

$$(\mathbf{m} \cdot \mathbf{e}_x^{(3,4)}) = \frac{1}{\sqrt{2}} \sin\left(\varphi + \frac{\pi}{4}\right),$$

$$(\mathbf{m} \cdot \mathbf{e}_x^{(5,6)}) = \pm \frac{1}{\sqrt{2}} \cos\left(\varphi + \frac{\pi}{4}\right).$$

Тем самым получаем

$$E_A = -K(3 \cos \varphi + |\sin \varphi|) = -K\sqrt{10} \cos\left(\frac{\varphi_0}{2} - |\varphi|\right),$$

где $\varphi_0 = \arccos(4/5) = 37^\circ$ — угол между осями [210] и [120].

Уравнение Эйлера–Лагранжа при такой E_A имеет вид

$$A \left(\frac{\partial \varphi}{\partial z}\right)^2 = K\sqrt{10} \left(1 - \cos\left(\frac{\varphi_0}{2} - |\varphi|\right)\right), \quad (11)$$

где $A \sim 10^{-7}$ эрг/см — константа неоднородного обмена. Разделение переменных в дифференциальном уравнении (11) приводит к интегралу

$$z \cdot 10^{1/4} \sqrt{\frac{K}{A}} = \int \frac{d\varphi}{\sqrt{1 - \cos\left(\frac{\varphi_0}{2} - |\varphi|\right)}},$$

откуда найдем выражение, определяющее форму доменной стенки

$$\operatorname{tg}\left(\frac{\varphi_0}{8} - \frac{\varphi}{4}\right) = \operatorname{tg}\left(\frac{\varphi_0}{8}\right) \cdot \exp\left(\pm \frac{z}{z_0}\right), \quad (12)$$

где величина z_0 дается соотношением

$$z_0 = 10^{-1/4} \sqrt{\frac{A}{2K}}. \quad (13)$$

В формуле (12) верхний знак соответствует $z < 0$ и $\varphi < 0$, а нижний — $z > 0$ и $\varphi > 0$. Поскольку углы $\varphi_0/8$ и $\varphi_0/8 \pm \varphi/4$ весьма малы (меньше 5°), то уравнение (12) можно представить в виде

$$\varphi(z) = \mp \frac{\varphi_0}{2} (1 - e^{\pm z/z_0}), \quad (14)$$

где опять верхний знак следует использовать при $z < 0$, а нижний — при $z > 0$.

Вектор поляризации доменной стенки определим как электрический дипольный момент ионов самария в элементарной ячейке, расположенной в заданной точке, отнесенный к объему ячейки. Согласно соотношениям (6), электрические дипольные моменты ионов самария равны

$$\mathbf{P}^{(k)} = -C_1 M_x^{(k)} H_y^{(k)} \mathbf{e}_x^{(k)} - C_2 M_x^{(k)} H_z^{(k)} \mathbf{e}_z^{(k)},$$

где $\mathbf{H} = \lambda \mathbf{M}_{\text{Fe}} = \lambda M_{\text{Fe}} \mathbf{m}$. В свою очередь, при температуре $T \rightarrow 0 \text{ K}$, магнитные дипольные моменты ионов самария $M_x^{(k)} = \mu_x \operatorname{sign}(\mathbf{m} \cdot \mathbf{e}_x^{(k)})$ равны $M_x^{(1,3,4,5)} = \mu_x$, $M_x^{(6)} = -\mu_x$, $M_x^{(2)} = -\mu_x \operatorname{sign} z$, в соответствии с формулой (10), определяющей вектор \mathbf{m} .

Воспользуемся соотношением

$$f(\mathbf{r}_k) - f(\mathbf{r}_{k+6}) = (\nabla f)(\mathbf{r}_k - \mathbf{r}_{k+6})$$

и найдем, что

$$\sum_{i=k}^{24} \mathbf{P}^{(k)} = -\frac{1}{2} C_1 \mu_x \lambda M_{\text{Fe}} d (\cos \varphi(z) - |\sin \varphi(z)|) \frac{\partial \varphi(z)}{\partial z} \mathbf{e}_z.$$

Разделим это выражение на объем d^3 элементарной ячейки и найдем вектор поляризации

$$\mathbf{P} = -\frac{C_1 \mu_x \lambda M_{\text{Fe}}}{d^2} (\cos \varphi(z) - |\sin \varphi(z)|) \frac{\partial \varphi(z)}{\partial z} \mathbf{e}_z,$$

направленный вдоль оси разворота намагниченности (оси z). Согласно формуле (14), угол $\varphi \ll 1$, при этом выражение для вектора $\mathbf{P}(z)$ принимает простой вид

$$\mathbf{P}(z) = -P_0 e^{-\frac{|z|}{z_0}} \mathbf{e}_z, \quad P_0 = \frac{C_1 \mu_x \lambda M_{\text{Fe}} \varphi_0}{d^2 2z_0}. \quad (15)$$

Зависимость $P(z)$ представлена на рис. 6.

Рассмотрим теперь электрическую поляризацию реализующейся при температуре $T > T_1$ блоховской доменной стенки, в которой вектор \mathbf{M}_{Fe} разворачивается на

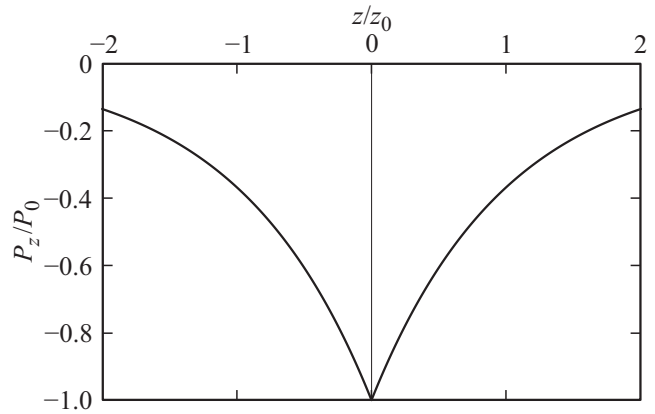


Рис. 6. Зависимость электрической поляризации $P(z)$ блоховской доменной стенки, в которой вектор намагниченности \mathbf{M}_{Fe} разворачивается от направления $[210]$ к направлению $[120]$ вдоль оси $[001]$, от координаты z (в относительных единицах). Величины z_0 и P_0 даются соответственно соотношениями (13) и (15).

угол 71° от направления $[111]$ к направлению $[11\bar{1}]$ вдоль оси $\tilde{z} \parallel [\bar{1}10]$. В этом случае

$$\mathbf{m} = \frac{\mathbf{M}_{\text{Fe}}}{M_{\text{Fe}}} = \mathbf{e}_x \cos \varphi + \mathbf{e}_y \sin \varphi,$$

где φ — угол, определяющий ориентацию вектора намагниченности \mathbf{M}_{Fe} в лабораторной системе координат $\mathbf{e}_x = [111]$, $\mathbf{e}_y = [11\bar{2}]$, $\mathbf{e}_z = [\bar{1}10]$. Распределение намагниченности в блоховской доменной стенке определяется соотношениями, приведенными в работе [14]:

$$\frac{\partial \varphi}{\partial \tilde{z}} = \sqrt{\frac{K_1}{A}} \left(\frac{1}{2} \cos^4(\gamma - \varphi) + \sin^4(\gamma - \varphi) - \frac{1}{3} \right)^{1/2}, \quad (16)$$

$$\varphi(\tilde{z}) = \gamma + \operatorname{arctg} \left(\frac{1}{\sqrt{2}} \operatorname{th} \left(\tilde{z} \sqrt{\frac{K_1}{3A}} \right) \right),$$

где A — константа неоднородного обменного взаимодействия, K_1 — абсолютная величина константы магнитной анизотропии, а $2\gamma = 2 \operatorname{arctg}(1/\sqrt{2}) = 71^\circ$ — угол полного разворота вектора намагниченности в доменной границе.

При температуре $T > T_1 = 65.7 \text{ K}$, согласно данным работы [10], расщепления дублетов Sm^{3+} в поле обменного взаимодействия меньше kT , и в этом случае электрические дипольные моменты ионов Sm^{3+} (равно, как и других РЗ-ионов), согласно [5], принимают вид

$$\mathbf{P}^{(k)} = -d_1 \mathbf{e}_x^{(k)} m_y^{(k)} m_z^{(k)} - d_2 \mathbf{e}_y^{(k)} m_x^{(k)} m_z^{(k)} - d_3 \mathbf{e}_z^{(k)} m_x^{(k)} m_y^{(k)},$$

где d_i ($i = 1, 2, 3$) — константы, определяемые волновыми функциями и уровнями энергии редкоземельных ионов в кристаллическом поле, а также и температурой (см. работу [5]).

Далее необходимо просуммировать векторы $\mathbf{P}^{(k)}$ по всем 24 ионам самария в элементарной ячейке, а затем

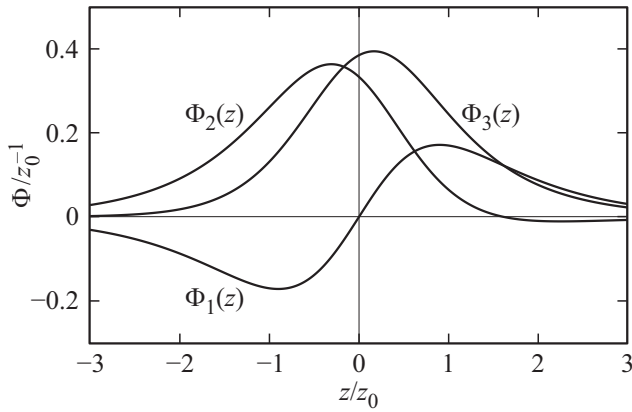


Рис. 7. Зависимости $\Phi_1(z)$, $\Phi_2(z)$ и $\Phi_3(z)$, заданные формулами (18) и (16), в относительных единицах. Величина z_0 определена выражением (13).

поделить на объем ячейки d^3 и получить тем самым поляризацию $P(\vec{z})$. Поскольку $\mathbf{e}_\alpha^{(k+6)} = -\mathbf{e}_\alpha^{(k)}$, то сумма $\sum_{k=1}^{24}$ будет содержать разности $f(\mathbf{r}_k) - f(\mathbf{r}_{k+6})$, где f — тригонометрические функции.

В рассматриваемом нами случае $f(\mathbf{r}_k) = f(\varphi(\mathbf{r}_k))$, а угол φ , в свою очередь, есть $\varphi(\vec{z})$, поэтому

$$f(\mathbf{r}_k) - f(\mathbf{r}_{k+6}) = \frac{\partial f(\varphi)}{\partial \varphi} \frac{\partial \varphi(\vec{z})}{\partial \vec{z}} (\mathbf{e}_z \cdot (\mathbf{r}_k - \mathbf{r}_{k+6})).$$

Вспользуемся данным соотношением и найдем, что вектор электрической поляризации 71-градусной доменной стенки

$$\mathbf{P} = \frac{1}{d^3} \sum_{k=1}^{24} \mathbf{P}^{(k)} = (q_1 \Phi_1(\vec{z}) + q_2 \Phi_2(\vec{z})) \mathbf{e}_x + \frac{1}{\sqrt{2}} (q_1 \Phi_1(\vec{z}) + \sqrt{3} q_2 \Phi_3(\vec{z})) \mathbf{e}_y. \quad (17)$$

Здесь введены обозначения

$$q_1 = \frac{\sqrt{3}}{4} \frac{d_3}{d^2} \quad \text{и} \quad q_2 = \frac{\sqrt{2}}{4} \frac{d_1 + d_2}{d^2},$$

а также

$$\begin{aligned} \Phi_1(\vec{z}) &= \frac{\partial \varphi(\vec{z})}{\partial \vec{z}} \sin(2\varphi(\vec{z}) - 2\gamma), \\ \Phi_2(\vec{z}) &= \frac{\partial \varphi(\vec{z})}{\partial \vec{z}} \cos(2\varphi(\vec{z}) - \gamma), \\ \Phi_3(\vec{z}) &= \frac{\partial \varphi(\vec{z})}{\partial \vec{z}} \sin(2\varphi(\vec{z})), \end{aligned} \quad (18)$$

где величины $\varphi(\vec{z})$ и $\partial \varphi(\vec{z})/\partial \vec{z}$ определены соотношениями (16). Отметим, что в этом случае вектор поляризации стенки ориентирован перпендикулярно оси разворота, т. е. $\mathbf{P} \perp \mathbf{e}_z$. Графики функций $\Phi_{1,2,3}(\vec{z})$ представлены на рис. 7.

6. Заключение

Настоящая работа была в основном направлена на выявление магнитоэлектрических свойств самариевого феррита-граната, обладающего уникальными магнитными характеристиками. Были определены индуцируемые полем обменного R-Fe взаимодействия конфигурации электрических дипольных моментов ионов самария, выявлена из связь с магнитными структурами и их трансформациями при ориентационных магнитных фазовых переходах.

Установлена возможность реализации при низких температурах $T \rightarrow 0$ К необычных 37° блоховских доменных границ, в которых происходит разворот вектора намагниченности подрешеток ионов железа \mathbf{M}_{Fe} от осей типа $[210]$ к осям $[120]$ и проведено их количественное описание. Рассчитана электрическая поляризация таких блоховских границ.

Также исследована электрическая поляризация 71° -х доменных границ, возникающих SmIG при высоких температурах $T > T_1 = 65.7$ К, в которых \mathbf{M}_{Fe} разворачивается от осей типа $[111]$ к осям $[11\bar{1}]$. Полученные в этом случае результаты применимы не только для SmIG, но и для составляющих большинство других редкоземельных ферритов-гранатов, осями легкого намагничивания которых являются направления типа $[111]$.

Установлено, что электрическая поляризация блоховских доменных границ, возникающая вследствие неоднородного магнитоэлектрического эффекта, существенно зависит от формы границ. Так в случае 37° -градусной границы, где разворот вектора \mathbf{M}_{Fe} происходит от оси $[210]$ к оси $[120]$ вдоль вектора $[001]$ поляризация \mathbf{P} направлена вдоль оси разворота, а для 71° -градусной границы доменной границы, в которой вектор \mathbf{M}_{Fe} разворачивается от направления $[111]$ к $[11\bar{1}]$ вдоль оси $\vec{z} \parallel [\bar{1}10]$, вектор поляризации перпендикулярен оси разворота.

Финансирование работы

Работа выполнена при поддержке Программы стратегического академического лидерства Российского университета дружбы народов (РУДН). АКЗ признателен Российскому научному фонду за поддержку работы (проект РНФ № 22-12-00367).

Конфликт интересов

Авторы заявляют, что у них нет конфликта интересов.

Список литературы

- [1] N.A. Spaldin, R. Ramesh. Nature Mater. **18**, 202 (2019). <https://doi.org/10.1038/s41563-018-0275-2>
- [2] X. Liang, H. Chen, N.X. Suna. Appl. Phys. Lett. Mater. **9**, 041114 (2021). <https://doi.org/10.1063/5.0044532>

- [3] А.К. Звездин, А.А. Мухин. Письма в ЖЭТФ **88**, 8, 581 (2008). http://jetpletters.ru/ps/1852/article_28266.shtml
- [4] A.I. Popov, D.I. Plokhov, A.K. Zvezdin. Phys. Rev. B **90**, 214427 (2014). <https://doi.org/10.1103/PhysRevB.90.214427>
- [5] A.I. Popov, Z.V. Gareeva, A.K. Zvezdin. Phys. Rev. B **92**, 144420 (2015). <https://doi.org/10.1103/PhysRevB.92.144420>
- [6] А.И. Попов, Ч.К. Сабденов. ФТТ **61**, 6, 1084 (2019). <https://doi.org/10.21883/ФТТ.2019.06.47682.351>
- [7] Г.А. Бабушкин, В.А. Бородин, В.Д. Дорошев, А.К. Звездин, Р.З. Левитин, А.И. Попов. Письма в ЖЭТФ **35**, 1, 28 (1982). http://jetpletters.ru/ps/358/article_5642.shtml
- [8] А.К. Звездин, В.М. Матвеев, А.А. Мухин, А.И. Попов. Редкоземельные ионы в магнитоупорядоченных кристаллах. Наука, М. (1985). 296 с.
- [9] О.А. Дорофеев, А.И. Попов. ФТТ **32**, 11, 3425 (1990). <http://journals.ioffe.ru/articles/21435>
- [10] О.А. Дорофеев, А.И. Попов. ФТТ **31**, 11, 124 (1989). <http://journals.ioffe.ru/articles/28969>
- [11] А.К. Звездин, А.А. Мухин, А.И. Попов. Письма в ЖЭТФ **23**, 5, 267 (1976). http://jetpletters.ru/ps/571/article_8976.shtml
- [12] A.I. Popov, K.A. Zvezdin, Z.V. Gareeva, F.A. Mazhitova, R.M. Vakhitov, A.R. Yumaguzin, A.K. Zvezdin. J. Phys.: Condens. Matter **28**, 456004 (2016). <https://doi.org/10.1088/0953-8984/28/45/456004>
- [13] A.I. Popov, Z.V. Gareeva, A.K. Zvezdin, T.T. Gareev, A.S. Sergeev, A.P. Ryatakov. Ferroelectrics **509**, 32 (2017). <https://doi.org/10.1080/00150193.2017.1292111>
- [14] А.М. Алексеев, А.Ф. Попков, А.И. Попов. ФТТ **41**, 12, 2183 (1999). <https://journals.ioffe.ru/articles/35642>

Редактор Т.Н. Василевская